

УДК 539.4:622.023.23

РАЗРУШЕНИЕ КВАЗИХРУПКОГО ГЕОМАТЕРИАЛА С КРУГОВЫМ ОТВЕРСТИЕМ ПРИ НЕРАВНОМЕРНО РАСПРЕДЕЛЕННОМ СЖАТИИ

С. В. Сукнев

Институт горного дела Севера им. Н. В. Черского СО РАН, 677980 Якутск, Россия
E-mail: suknyov@igds.ysn.ru

Теоретически и экспериментально исследовано влияние диаметра кругового отверстия на разрушение квазихрупкого геоматериала в зоне концентрации напряжений при неравномерно распределенном сжатии с учетом масштабного эффекта. Для определения разрушающей нагрузки использованы модифицированные нелокальные критерии, являющиеся развитием критериев средних напряжений, напряжений в точке, фиктивной трещины и содержащие параметр, характеризующий размер зоны предразрушения и учитывающий не только структуру материала, но и его пластические свойства, геометрию образца и условия его нагружения. Проведено сравнение результатов расчета с полученными экспериментальными данными.

Ключевые слова: хрупкое разрушение, квазихрупкое разрушение, геоматериалы, масштабный эффект, концентрация напряжений, отверстие, нелокальные критерии разрушения.

DOI: 10.15372/PMTF20190617

Введение. Прочностные свойства структурно-неоднородных материалов зависят от нагруженного объема. Наиболее существенно масштабный эффект проявляется при концентрации напряжений, когда эффективный нагруженный объем определяется размером зоны концентрации напряжений, малым по сравнению с характерными размерами деформируемого тела. В работе [1] исследовано влияние краевых условий на разрушение хрупкого геоматериала в зоне концентрации напряжений при двухосном нагружении с учетом масштабного эффекта. На основе проведенных экспериментальных и теоретических исследований показано, что при фиксированном размере отверстия влияние условий нагружения на критическое (разрушающее) напряжение достаточно точно описывается нелокальными критериями средних напряжений, напряжений в точке и фиктивной трещины.

Нелокальные критерии разрушения основаны на представлении о формировании в материале зоны предразрушения, в которой происходит локальное перераспределение напряжений, при этом вне зоны предразрушения материал деформируется упруго вплоть до момента разрушения. Во всех этих критериях вводится новая константа — внутренний характерный размер материала d_0 , определяющий его структуру. Это позволяет описать масштабный эффект при концентрации напряжений и тем самым расширить область применения нелокальных критериев разрушения по сравнению с традиционными критериями.

Работа выполнена при финансовой поддержке Российского фонда фундаментальных исследований (код проекта 18-05-00323).

© Сукнев С. В., 2019

Основные положения, используемые при формулировке нелокальных критериев разрушения, приведены в работах [2–5]. В дальнейшем подходы к формулировке этих критериев были развиты в работах [6–14].

Вместе с тем, как отмечено в работе [15], перераспределение напряжений в области, имеющей характерный размер d_0 , обусловлено не пластическими свойствами материала, а дискретностью его структуры. Поэтому нелокальные критерии в основном используются при описании хрупкого разрушения материалов с вырезами. Однако нелокальные критерии могут быть применены в случае квазихрупкого разрушения, сопровождающегося образованием зоны маломасштабной текучести (зоны предразрушения), если ее размер d незначительно отличается от d_0 , т. е. при $d \approx d_0 = \text{const}$.

Для распространения области применения на случаи квазихрупкого разрушения с развитой зоной предразрушения в работе [15] предложен ряд модифицированных нелокальных критериев разрушения, проведена верификация разработанных критериев квазихрупкого разрушения на примере задачи об образовании трещин отрыва при одноосном сжатии в образцах геоматериалов с круговым отверстием.

Целью настоящей работы является исследование возможности применения известных и модифицированных нелокальных критериев в тех случаях, когда образец квазихрупкого материала с круговым отверстием подвергается совместному действию сжимающих и растягивающих напряжений.

1. Постановка задачи. Рассматривается изотропная однородная линейно-упругая пластина, к которой приложены равномерно распределенное на бесконечности сжимающее напряжение σ и растягивающее напряжение $\alpha\sigma$ ($0 \leq \alpha \leq 1$). В центре пластины находится небольшое круговое отверстие радиусом a (рис. 1). Требуется определить критическое напряжение σ_c , при котором в пластине достигается предельное состояние (образование трещин отрыва на контуре отверстия), в зависимости от диаметра отверстия.

Прочностные свойства материала пластины зависят от масштабного эффекта. При наличии концентратора напряжений (отверстия) эффективный нагруженный объем определяется размером зоны концентрации напряжений L_e . Механической характеристикой материала пластины является предельное напряжение σ_0 , которое определяется при одноосном растяжении пластины без отверстия. Расчет σ_c проводится с использованием известных и модифицированных нелокальных критериев разрушения.

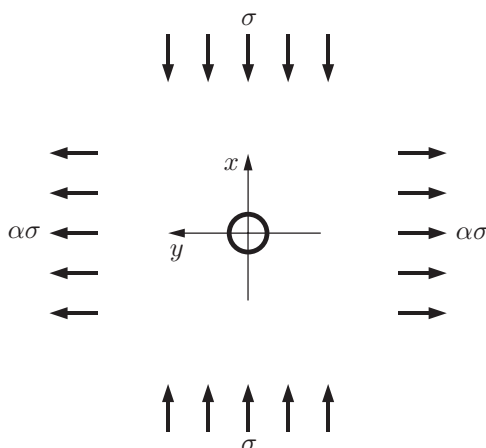


Рис. 1. Круговое отверстие при двухосном нагружении

2. Размер зоны предразрушения в модифицированных нелокальных критериях. В эксперименте как хрупкое, так и квазихрупкое разрушение характеризуется внезапным образованием и быстрым ростом трещины (при выполнении необходимых условий распространения неустойчивой трещины). Поэтому определить степень “хрупкости” или “квазихрупкости” разрушения образцов с вырезами достаточно сложно. В работе [16], в которой представлены результаты экспериментов по разрушению графитовых пластин с вырезами при растяжении, процесс разрушения образцов описывается как внезапный, при этом диаграмма деформирования является практически линейной. Поэтому разрушение образцов можно рассматривать как хрупкое. Анализ результатов работы [16], проведенный в [17], показал, что размер зоны предразрушения значительно превышает характерный внутренний (структурный) размер материала и зависит от радиуса закругления вершины выреза. Это свидетельствует о квазихрупком характере разрушения образцов.

Ранее предпринимались попытки модифицировать нелокальные критерии путем уточнения параметра d_0 . В работе [18] при описании экспериментальных данных о разрушении пластин из композитного материала с круговым отверстием радиусом R параметр d_0 представлялся в виде $d_0 = (R/R_0)^m/C$ (R_0 — вспомогательный параметр, введенный для обезразмеривания R), а затем путем подгонки определялись феноменологические константы m , C . Аналогичный критерий использован в работе [19] при описании экспериментальных данных, полученных для образцов с отверстиями эллиптической формы.

Другой подход предложен в работе [15]. На основе анализа диаграмм хрупкого, квазихрупкого и вязкого разрушения выражение для размера зоны предразрушения d представляется в виде

$$d = d_0 + \beta L_e, \quad (1)$$

где L_e — размер зоны концентрации напряжений; β — безразмерный параметр, характеризующий пластичность материала. Для хрупких материалов $\beta = 0$, для пластичных $\beta \gg 1$. При $\beta \approx 1$ материал характеризуется умеренными пластическими свойствами. Первое слагаемое в выражении (1) характеризует собственно структуру материала, второе учитывает неупругие деформации. Таким образом, пластические свойства материала начинают проявляться при $d > d_0$ и проявляются тем сильнее, чем больше d по сравнению с d_0 . Если $d = d_0$, то разрушение является хрупким, если $d > d_0$, то квазихрупким, которое в пределе $d \gg d_0$ переходит в вязкое разрушение. При вязком разрушении критическое напряжение не зависит от размера концентратора напряжений, поэтому размер зоны предразрушения пропорционален размеру концентратора и, соответственно, размеру L_e (при одних и тех же граничных условиях). При хрупком разрушении, наоборот, размер зоны предразрушения не зависит от размера концентратора напряжений и определяется структурой материала.

На рис. 2 представлена зависимость критического давления от размера зоны концентрации напряжений, характеризующая образование трещин отрыва вблизи выреза. В соответствии с современными представлениями о твердом теле, обладающем изначальной, присущей ему дефектностью, малые искусственные дефекты, размеры которых сопоставимы с размерами структурных составляющих материала, не оказывают влияния на его прочность, до тех пор пока их размеры не достигнут критического значения. Поэтому при малых значениях L_e независимо от наличия концентратора напряжений материал разрушается, как материал гладкого образца при достижении предела прочности при сжатии S_0 . После достижения критического размера концентратора давление p_c , при котором происходит разрушение, уменьшается, асимптотически приближаясь к напряжению T_0 в случае хрупкого разрушения и к напряжению T_s ($S_0 > T_s > T_0$) в случае вязкого разрушения. Отношение напряжений T_s и T_0 зависит от величины параметра пластичности β

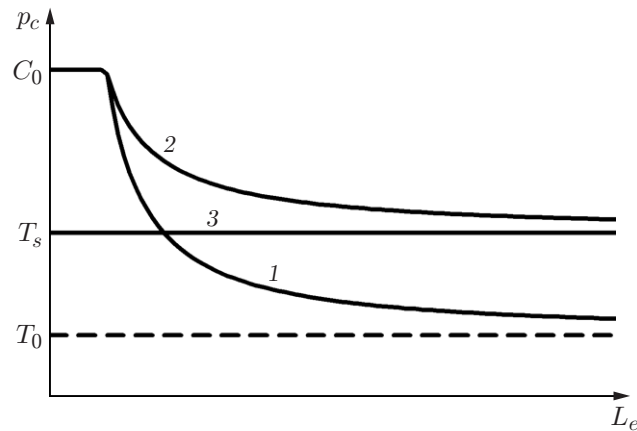


Рис. 2. Зависимость критического давления от размера зоны концентрации напряжений при хрупком (1), квазихрупком (2) и вязком (3) разрушении

в выражении (1). В случае одноосного сжатия напряжение T_0 равно пределу прочности материала при растяжении.

3. Расчет критического напряжения. Среди нелокальных критериев наибольшее распространение получил критерий средних напряжений, или интегральный критерий

$$\langle \sigma_e \rangle_d < \sigma_0,$$

где $\langle \sigma_e \rangle_d$ — среднее значение эквивалентного напряжения, вычисленное на отрезке длиной d в опасном сечении и характеризующее внутреннее напряженное состояние деформируемого тела:

$$\langle \sigma_e \rangle_d = \frac{1}{d} \int_{x_0}^{x_0+d} \sigma_e(x) dx,$$

x_0 — координата точки, в которой достигается максимальное значение эквивалентного напряжения. Длина отрезка d , на котором проводится осреднение, полагается константой материала, характеризующей его структуру: $d = d_0 = \text{const}$.

Критическое напряжение для образца с круговым отверстием, подвергаемого двухосному нагружению (см. рис. 1), определяется по формуле [1]

$$\sigma_c = 2\sigma_0[(1 + \gamma)\gamma^{-3} + \alpha(1 + \gamma^{-1})(2 + \gamma^{-2})]^{-1}, \quad (2)$$

где $\gamma = 1 + d/a$. При $\gamma = 1$ расчет по формуле (2) совпадает с расчетом по традиционному критерию разрушения.

Для описания квазихрупкого разрушения размер области, в которой проводится осреднение, будем определять по формуле (1), где размер зоны концентрации напряжений равен

$$L_e = \frac{\sigma_e}{|\text{grad } \sigma_e|}. \quad (3)$$

В соответствии с известным решением задачи Кирша [20] распределение нормальных напряжений σ_y вдоль линии приложения сжимающей нагрузки имеет вид

$$\sigma_y = \frac{\sigma}{2} \left(3 \frac{a^4}{x^4} - \frac{a^2}{x^2} \right) + \frac{\alpha\sigma}{2} \left(2 + \frac{a^2}{x^2} + 3 \frac{a^4}{x^4} \right). \quad (4)$$

Начало системы координат находится в центре отверстия, величина приложенного сжимающего напряжения σ считается положительной. Размер зоны концентрации напряжений,

рассчитанный по формуле (3) с учетом (4), равен $L_e = a(1 + 3\alpha)/(5 + 7\alpha)$. Соответственно, выражение для параметра γ в формуле (2) принимает вид

$$\gamma = 1 + \frac{d_0}{a} + \beta \frac{1 + 3\alpha}{5 + 7\alpha}. \quad (5)$$

Наряду с критерием средних напряжений широкое распространение получил критерий напряжений в точке. При использовании этого критерия вместо интегрирования проводится вычисление эквивалентного напряжения σ_e в некоторой точке, удаленной от точки максимума на расстояние d :

$$\sigma_e(x_0 + d) < \sigma_0.$$

Критическое расстояние d полагается константой материала, не совпадающей с длиной отрезка d , на котором проводится осреднение, в интегральном критерии. Для хрупких материалов $d = d_0 = \text{const}$.

Критическое напряжение для образца с круговым отверстием, подвергнутого двухосному нагружению (см. рис. 1), определяется по формуле [1]

$$\sigma_c = 2\sigma_0 [(-\gamma^{-2} + 3\gamma^{-4}) + \alpha(2 + \gamma^{-2} + 3\gamma^{-4})]^{-1}, \quad (6)$$

где $\gamma = 1 + d/a$. При $\gamma = 1$ расчет по формуле (6) совпадает с расчетом по традиционному критерию разрушения. Для квазихрупких материалов параметр γ определяется по формуле (5).

При использовании критерия фиктивной трещины зона предразрушения моделируется трещиной длиной d , исходящей из вершины концентратора. Затем для тела с трещиной, находящейся в неоднородном поле напряжений, рассчитывается коэффициент интенсивности напряжений и применяется критерий линейной механики разрушения.

Длина фиктивной трещины d полагается константой материала, не совпадающей с длиной отрезка d , на котором проводится осреднение, в интегральном критерии и критерии напряжений в точке. Для хрупких материалов $d = d_0 = \text{const}$.

Критическое напряжение для образца с круговым отверстием, подвергнутого двухосному нагружению (см. рис. 1), определяется по формуле [1]

$$\sigma_c = 2\sigma_0 [-\gamma^{-1,5} + 0,375\gamma^{-3,5}(5 + 2\gamma + \gamma^2) + \alpha(2 + \gamma^{-1,5} + 0,375\gamma^{-3,5}(5 + 2\gamma + \gamma^2))]^{-1}, \quad (7)$$

где $\gamma = 1 + d/a$. При $\gamma = 1$ расчет по формуле (7) совпадает с расчетом по традиционному критерию разрушения. Для квазихрупких материалов параметр γ определяется по формуле (5).

4. Экспериментальная проверка нелокальных критериев разрушения. Методика эксперимента описана в работе [1]. В качестве модельного материала использовался дигидрат сульфата кальция (двухводный гипс), приготовленный для первой серии экспериментов из водного раствора высокопрочного гипса марки ГВВС-16 (гипс 1), для второй серии экспериментов — из водного раствора строительного гипса марки Г-5 (гипс 2). Образцы представляли собой квадратные плиты размером 200×200 мм. Толщина плит составляла 40 мм (гипс 1) и 36 мм (гипс 2).

Перед испытанием в центре образцов высверливались круговые отверстия диаметром 1, 2, 5, 10, 15, 20 мм. Было изготовлено и испытано по пять образцов с отверстиями каждого диаметра. Нагрузка p прикладывалась к образцу с помощью жестких вставок размером 120 мм, помещенных между образцом и нагружающими плитами. При этом в центральной части образца (вне зоны влияния отверстия) реализовывалось практически однородное двухосное напряженное состояние: растяжение по горизонтальной оси и сжатие по вертикальной оси образца (см. рис. 1). В ходе испытаний образцов в зонах концентрации растягивающих напряжений на контуре отверстия происходило образование трещин

отрыва, сопровождаемое локальной разгрузкой образца, что соответствовало появлению зубца на диаграмме деформирования. Критическая нагрузка в момент образования трещин определялась по значению нагрузки, соответствующему вершине зубца на диаграмме.

Для определения прочности материала на сжатие использовались квадратные образцы размером 200×200 мм без отверстия, нагружение проводилось через вставки размером 200 мм. Для гипса 1 значение предела прочности составило 34,11 МПа, для гипса 2 — 11,53 МПа. Предел прочности материала на растяжение определялся на образцах корсетного типа с радиусом закругления рабочей части $110 \div 120$ мм и с минимальной шириной сечения, равной 29 мм. Для гипса 1 значение предела прочности составило 5,38 МПа, для гипса 2 — 2,61 МПа.

Значения σ , α вычислялись методом конечных элементов в центре образцов, нагруженных через вставки заданного размера и не содержащих отверстия. Нагрузка, приложенная к образцу, моделировалась перемещением абсолютно жесткой вставки. В области контакта образца со вставкой проскальзывание отсутствовало. Для использованных в экспериментах вставок $\sigma = 0,764p$, $\alpha = 0,187$.

4.1. *Критерий средних напряжений.* В соответствии с формулой (2) и с учетом оценок для σ , α запишем выражение для критического давления в образце с круговым отверстием

$$p_c = 2\chi C_0 [0,764(1 + \gamma)\gamma^{-3} + 0,143(1 + \gamma^{-1})(2 + \gamma^{-2})]^{-1}, \quad (8)$$

где $\chi = \sigma_0/C_0$. Параметр γ определяется по формуле (5), где $\alpha = 0,187$.

Асимптотическое (при $a \rightarrow \infty$) значение критического давления равно

$$T_s = T_0 \frac{2(1 + 3\alpha)}{(1 + \gamma_s)\gamma_s^{-3} + \alpha(1 + \gamma_s^{-1})(2 + \gamma_s^{-2})}. \quad (9)$$

Здесь $\gamma_s = 1 + \beta(1 + 3\alpha)/(5 + 7\alpha)$; $T_0 = 0,838\chi C_0$ — асимптотическое значение критического давления для хрупкого материала. Для квазихрупких материалов, характеризующихся умеренными пластическими свойствами, $T_s \approx T_0(1 + \beta/2)$.

На рис. 3 представлены экспериментальная зависимость критического давления в момент образования трещин отрыва на контуре отверстия от его диаметра l , полученная для образцов из гипса 1, и результаты расчета критического давления по формуле (8) при $\beta = 0$. Размер d_0 составил 0,6 мм и оказался сопоставимым с размером наиболее крупных пор в материале. Штриховая линия рассчитана согласно традиционному критерию.

На рис. 4 приведены экспериментальные данные и результаты расчета критического давления для образцов из гипса 2 при $\beta = 0; 0,6$. Размер d_0 составил 1,0 мм. В соответствии с формулой (9) при $\beta = 0$ $T_s = T_0$, при $\beta = 0,6$ $T_s = 1,3T_0$.

Из рис. 3, 4 следует, что локальная прочность материала существенно зависит от диаметра отверстия. При его уменьшении критическое давление увеличивается, достигая предела прочности на сжатие, при увеличении — асимптотически приближается к напряжению T_0 для образцов из гипса 1 и к напряжению T_s для образцов из гипса 2. Такое поведение материала при разрушении достаточно точно описывается модифицированным критерием средних напряжений, где длина отрезка d , на котором проводится осреднение, определяется по формуле (1).

4.2. *Критерий напряжений в точке.* В соответствии с формулой (6) и с учетом оценок для σ , α запишем выражение для критического давления в образце с круговым отверстием

$$p_c = 2\chi C_0 [0,764(-\gamma^{-2} + 3\gamma^{-4}) + 0,143(2 + \gamma^{-2} + 3\gamma^{-4})]^{-1}. \quad (10)$$

Асимптотическое значение критического давления равно

$$T_s = T_0 \frac{2(1 + 3\alpha)}{-\gamma_s^{-2} + 3\gamma_s^{-4} + \alpha(2 + \gamma_s^{-2} + 3\gamma_s^{-4})}. \quad (11)$$

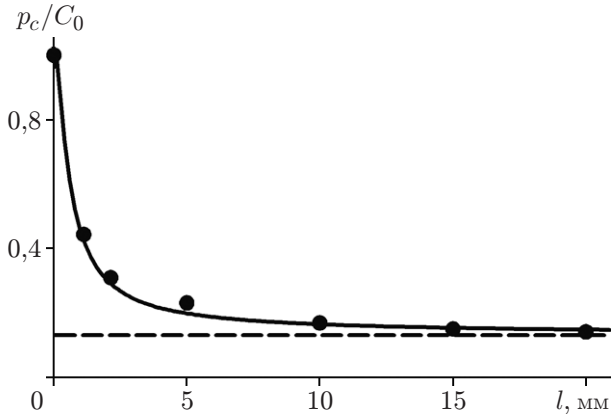


Рис. 3

Рис. 3. Экспериментальная (точки) и рассчитанная по критерию средних напряжений (сплошная линия) зависимости критического давления от диаметра отверстия для образцов из гипса 1:

штриховая линия — расчет по традиционному критерию

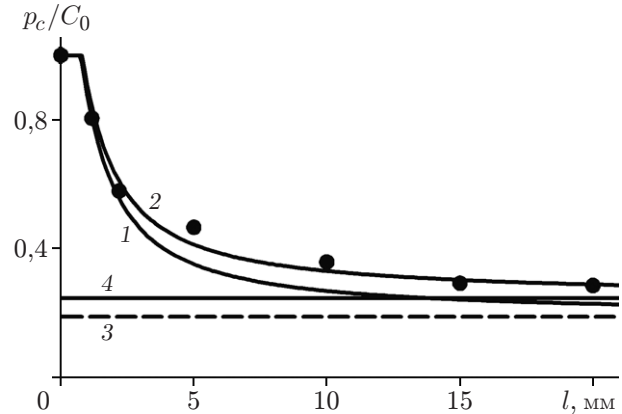


Рис. 4

Рис. 4. Экспериментальная (точки) и рассчитанные по критерию средних напряжений (линии 1, 2) зависимости критического давления от диаметра отверстия для образцов из гипса 2:

1 — $\beta = 0$, 2 — $\beta = 0,6$, 3, 4 — расчет по формуле (9) (3 — $T_s = T_0$, 4 — $T_s = 1,3T_0$)

Для квазихрупких материалов, характеризующихся умеренными пластическими свойствами, $T_s \approx T_0(1 + \beta)$.

На рис. 5 представлены экспериментальная зависимость критического давления в момент образования трещин отрыва на контуре отверстия от его диаметра l , полученная для образцов из гипса 1, и результаты расчета критического давления по формуле (10) при $\beta = 0$. Размер d_0 составил 0,25 мм. Штриховая линия рассчитана согласно традиционному критерию.

На рис. 6 приведены экспериментальные данные и результаты расчета критического давления для образцов из гипса 2 при $\beta = 0; 0,3$. Размер d_0 составил 0,3 мм. В соответствии с формулой (11) при $\beta = 0$ $T_s = T_0$, при $\beta = 0,3$ $T_s = 1,3T_0$.

Результаты эксперимента достаточно точно описываются модифицированным критерием напряжений в точке, в котором размер d определяется по формуле (1).

4.3. Критерий фиктивной трещины. В соответствии с формулой (7) и с учетом оценок для σ , α запишем выражение для критического давления в образце с круговым отверстием

$$p_c = 2\chi C_0 [0,764(-\gamma^{-1,5} + 0,375\gamma^{-3,5}(5 + 2\gamma + \gamma^2)) + 0,143(2 + \gamma^{-1,5} + 0,375\gamma^{-3,5}(5 + 2\gamma + \gamma^2))]^{-1}. \quad (12)$$

Асимптотическое значение критического давления равно

$$T_s = T_0 \frac{2(1 + 3\alpha)}{-\gamma_s^{-1,5} + 0,375\gamma_s^{-3,5}(5 + 2\gamma_s + \gamma_s^2) + \alpha(2 + \gamma_s^{-1,5} + 0,375\gamma_s^{-3,5}(5 + 2\gamma_s + \gamma_s^2))}. \quad (13)$$

Для квазихрупких материалов, характеризующихся умеренными пластическими свойствами, $T_s \approx T_0(1 + 3\beta/4)$.

На рис. 7 представлены экспериментальная зависимость критического давления в момент образования трещин отрыва на контуре отверстия от его диаметра l , полученная для

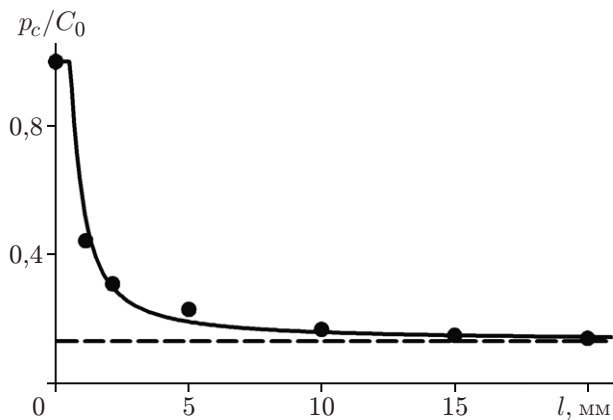


Рис. 5

Рис. 5. Экспериментальная (точки) и рассчитанная по критерию напряжений в точке (сплошная линия) зависимости критического давления от диаметра отверстия для образцов из гипса 1:

штриховая линия — расчет по традиционному критерию

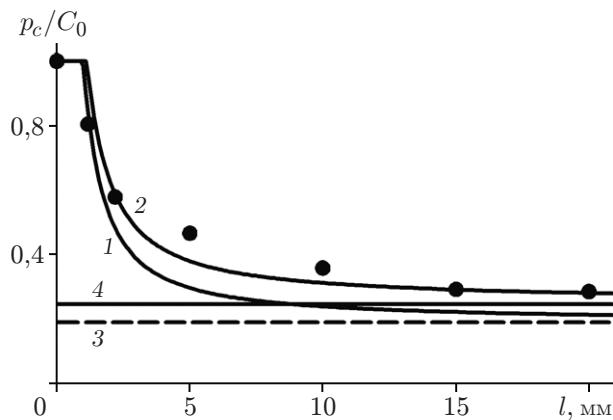


Рис. 6

Рис. 6. Экспериментальная (точки) и рассчитанные по критерию напряжений в точке (линии 1, 2) зависимости критического давления от диаметра отверстия для образцов из гипса 2:

1 — $\beta = 0$, 2 — $\beta = 0,3$, 3, 4 — расчет по формуле (11) (3 — $T_s = T_0$, 4 — $T_s = 1,3T_0$)

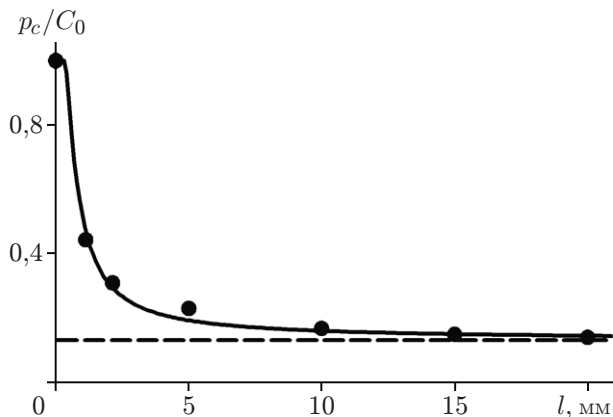


Рис. 7

Рис. 7. Экспериментальная (точки) и рассчитанная по критерию фиктивной трещины (сплошная линия) зависимости критического давления от диаметра отверстия для образцов из гипса 1:

штриховая линия — расчет по традиционному критерию

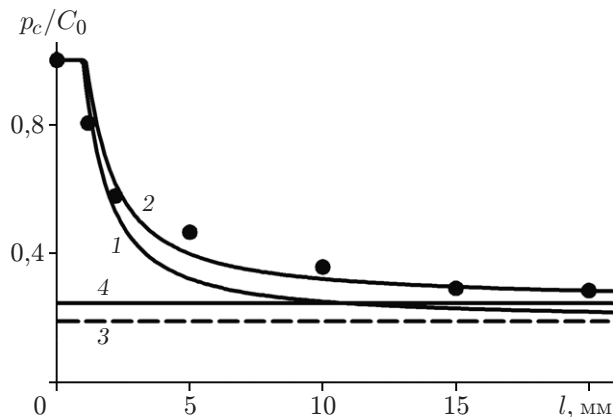


Рис. 8

Рис. 8. Экспериментальная (точки) и рассчитанные по критерию фиктивной трещины (линии 1, 2) зависимости критического давления от диаметра отверстия для образцов из гипса 2:

1 — $\beta = 0$, 2 — $\beta = 0,4$, 3, 4 — расчет по формуле (13) (3 — $T_s = T_0$, 4 — $T_s = 1,3T_0$)

Значения параметров, используемых при расчете критического давления для образцов из гипса 1 и гипса 2

Критерий	d_0 , мм		β		d_2 , мм		d_{20} , мм	
	Гипс 1	Гипс 2	Гипс 1	Гипс 2	Гипс 1	Гипс 2	Гипс 1	Гипс 2
средних напряжений	0,60	1,0	0	0,6	0,60	1,15	0,60	2,48
напряжений в точке	0,25	0,3	0	0,3	0,25	0,37	0,25	1,04
фиктивной трещины	0,35	0,5	0	0,4	0,35	0,60	0,35	1,49

образцов из гипса 1, и результаты расчета критического давления по формуле (12) при $\beta = 0$. Размер d_0 составил 0,35 мм. Штриховая линия рассчитана согласно традиционному критерию.

На рис. 8 приведены экспериментальные данные и результаты расчета критического давления для образцов из гипса 2 при $\beta = 0; 0,4$. Размер d_0 составил 0,5 мм. В соответствии с формулой (13) при $\beta = 0$ $T_s = T_0$, при $\beta = 0,4$ $T_s = 1,3T_0$.

Результаты эксперимента достаточно точно описываются модифицированным критерием фиктивной трещины, в котором длина фиктивной трещины d определяется по формуле (1).

В таблице приведены значения параметров, используемых при расчете критического давления для образцов из гипса 1 и гипса 2, а также размеры зоны предразрушения d_2 , d_{20} , рассчитанные для отверстий диаметром 2 и 20 мм соответственно.

5. Обсуждение полученных результатов. Проведем анализ результатов расчетов, выполненных с использованием различных нелокальных критериев, и сравним их с полученными экспериментальными данными.

Из рис. 3–8 следует, что разрушение образцов из гипса 1, характеризующееся внезапным образованием на контуре отверстия и быстрым распространением вдоль оси сжатия трещин отрыва, может быть описано с использованием известных нелокальных критериев. Все рассмотренные в данной работе критерии (средних напряжений, напряжений в точке и фиктивной трещины) достаточно точно описывают зависимость критического давления от диаметра отверстия во всем исследованном диапазоне его значений 1 ÷ 20 мм. Асимптотические значения критического давления, вычисленные в соответствии с нелокальными критериями, совпадают со значениями, вычисленными в соответствии с традиционным критерием для упругого тела, что подтверждается экспериментальными данными. Все это позволяет охарактеризовать разрушение данного материала как хрупкое.

В то же время применение известных нелокальных критериев для описания экспериментальных данных, полученных для образцов из гипса 2, позволяет получить удовлетворительные оценки величины критического давления только при малых (1 ÷ 2 мм) диаметрах отверстия. Значения критического давления, вычисленные для больших диаметров отверстия, меньше соответствующих экспериментальных значений. Полученные экспериментальные данные свидетельствуют о том, что при увеличении диаметра отверстия критическое давление асимптотически стремится к значению, на 30 % превышающему значение, вычисленное для упругого тела. При этом, как и в случае образцов из гипса 1, разрушение образцов из гипса 2 характеризуется внезапным образованием на контуре отверстия и быстрым распространением вдоль оси сжатия трещин отрыва. Все это позволяет охарактеризовать разрушение данного материала в исследованном диапазоне значений диаметра отверстия как квазихрупкое.

Из рис. 3–8 следует, что зависимость критического давления от диаметра отверстия при разрушении образцов из гипса 2 достаточно точно описывается модифицированными нелокальными критериями. В этих критериях структурный параметр (размер зоны предразрушения) d представляется в виде суммы двух слагаемых, первое из которых характеризует собственно структуру материала, а второе учитывает формирование зоны неупругих деформаций. Результаты расчетов критического давления, выполненные по формулам (8), (10), (12), хорошо согласуются с данными эксперимента. Заметим, что в образцах с отверстиями малого ($1 \div 2$ мм) диаметра зона неупругих деформаций также мала и не оказывает существенного влияния на результаты расчетов, выполненных по исходным (известным) и модифицированным критериям.

Несмотря на то что расчет по модифицированному критерию средних напряжений позволяет более точно описать данные эксперимента, чем расчет по модифицированным критериям напряжений в точке и фиктивной трещины, различие результатов расчетов по этим трем критериям является незначительным. Существенно большее значение для корректной оценки размера d имеет учет формирования зоны неупругих деформаций. Иными словами, в рассмотренной задаче важное значение имеет не вид используемого критерия разрушения, а корректное определение его параметров, прежде всего размера зоны предразрушения.

Заключение. Особенностью известных нелокальных критериев разрушения является введение дополнительной константы материала (внутреннего характерного размера материала), которая имеет размерность длины и характеризует его структуру, при этом данные критерии применимы только в случаях хрупкого либо квазихрупкого разрушения при наличии небольшой зоны предразрушения. Для описания случая квазихрупкого разрушения при наличии развитой зоны предразрушения предложено использовать модифицированные нелокальные критерии, в которых структурный параметр представляется в виде суммы двух слагаемых. Первое из этих слагаемых характеризует собственно структуру материала и является константой, а второе учитывает формирование зоны неупругих деформаций и зависит от пластических свойств материала, геометрии образца и условий его нагружения (краевых условий).

Проведена проверка применимости ранее предложенных и модифицированных нелокальных критериев разрушения в случае образования трещин отрыва при совместном действии сжимающих и растягивающих напряжений в образцах геоматериалов с круговым отверстием. Получены новые экспериментальные данные о разрушении образцов при неравномерно распределенном сжатии, выполнены расчеты критического давления в зависимости от диаметра отверстия с использованием известных и модифицированных нелокальных критериев разрушения, являющихся развитием критериев средних напряжений, напряжений в точке и фиктивной трещины. На основе проведенных экспериментальных и теоретических исследований установлены закономерности хрупкого и квазихрупкого разрушения геоматериалов, содержащих концентраторы напряжений в виде кругового отверстия, и показано, что результаты расчетов по модифицированным критериям согласуются с полученными экспериментальными данными.

ЛИТЕРАТУРА

1. Сукнев С. В. Разрушение хрупкого геоматериала с круговым отверстием при двухосном нагружении // ПМТФ. 2015. Т. 56, № 6. С. 166–172.
2. Wieghardt K. Über das Spalten und Zerreißen elastischer Körper // Z. Math. Phys. 1907. Bd 55, N 1/2. S. 60–103.
3. Neuber H. Kerbspannungslehre, Grundlagen für eine genaue Spannungsrechnung. Berlin: Springer-Verlag, 1937.

4. **Новожилов В. В.** О необходимом и достаточном критерии хрупкой прочности // Прикл. математика и механика. 1969. Т. 33, № 2. С. 212–222.
5. **Waddoups M. E., Eisenmann J. R., Kaminski B. E.** Macroscopic fracture mechanics of advanced composite materials // J. Composite Materials. 1971. V. 5, N 4. P. 446–454.
6. **Whitney J. M., Nuismer R. J.** Stress fracture criteria for laminated composites containing stress concentrations // J. Composite Materials. 1974. V. 8, N 4. P. 253–265.
7. **Maiti S. K., Smith R. A.** Comparison of the criteria for mixed mode brittle fracture based on the preinstability stress-strain field. Pt 1. Slit and elliptical cracks under uniaxial tensile loading // Intern. J. Fracture. 1983. V. 23, N 4. P. 281–295.
8. **Аннин Б. Д., Максименко В. Н.** Оценка разрушения пластин из композитных материалов с отверстиями // Механика композит. материалов. 1989. № 2. С. 284–290.
9. **Seweryn A., Mroz Z.** A non-local stress failure condition for structural elements under multiaxial loading // Engng Fracture Mech. 1995. V. 51, N 6. P. 955–973.
10. **Mikhailov S. E.** A functional approach to non-local strength condition and fracture criteria // Engng Fracture Mech. 1995. V. 52, N 4. P. 731–754.
11. **Корнев В. М.** Интегральные критерии хрупкой прочности трещиноватых тел с дефектами при наличии вакансий в носике трещины. Прочность компактированных тел типа керамик // ПМТФ. 1996. Т. 37, № 5. С. 168–177.
12. **Leguillon D.** Strength or toughness? A criterion for crack onset at a notch // Eur. J. Mech. A. Solids. 2002. V. 21, N 1. P. 61–72.
13. **Taylor D.** The theory of critical distances: a new perspective in fracture mechanics. Oxford: Elsevier, 2007.
14. **Sapora A., Torabi A. R., Etesam S., Cornetti P.** Finite fracture mechanics crack initiation from a circular hole // Fatigue Fracture Engng Material Structure. 2018. V. 41, N 7. P. 1627–1636.
15. **Сукнев С. В.** Нелокальные и градиентные критерии разрушения квазихрупких материалов при сжатии // Физ. мезомеханика. 2018. Т. 21, № 4. С. 22–32.
16. **Lazzarin P., Berto F., Ayatollahi M. R.** Brittle failure of inclined key-hole notches in isostatic graphite under in-plane mixed mode loading // Fatigue Fracture Engng Material Structure. 2013. V. 36, N 9. P. 942–955.
17. **Torabi A. R., Pirhadi E.** Stress-based criteria for brittle fracture in key-hole notches under mixed mode loading // Eur. J. Mech. A. Solids. 2015. V. 49. P. 1–12.
18. **Pipes R. B., Wetherhold R. C., Gillespie J. W. (Jr.)** Notched strength of composite materials // J. Composite Materials. 1979. V. 13, N 2. P. 148–160.
19. **Tan S. C.** Laminated composites containing an elliptical opening. 2. Experiment and model modification // J. Composite Materials. 1987. V. 21, N 10. P. 949–968.
20. **Седов Л. И.** Механика сплошной среды. М.: Наука, 1984. Т. 2.

*Поступила в редакцию 4/III 2019 г.,
после доработки — 8/IV 2019 г.
Принята к публикации 29/IV 2019 г.*